

C₃S-C₃A 계의 초기 수화반응 특성에 미치는 석고의 영향 (I)

신 규연* · 한기성

인하대학교 무기재료공학과

*쌍용중앙연구소

(1989년 3월 27일 접수)

Effect of Gypsum on the Characteristics of Early Hydration of the System C₃S-C₃A (I)

Gyoo Youn Shin* and Ki Sung Han

Dept. of Ceramics Eng., Inha Univ.

*Ssangyong Research Center

(Received March 27, 1989)

요약

C₃S-C₃A 계의 수화 메커니즘을 규명하기 위한 연구의 일환으로 C₃S/C₃A 함량비 변화 및 석고 존재여부에 따른 초기 수화반응 특성을 고찰하였다.

C₃S-석고계 수화는 C₃S 단독 수화시에 비하여 C₃S 의 용해속도가 증가함으로써 C₃S 수화반응 단계에서 유도기가 짧아지고 가속기에서 Ca(OH)₂ 생성속도가 증가한다.

C₃S-C₃A 계 수화에서는 C₃A 의 수화반응에 의한 수용액상 중의 Al³⁺이 C₃S 의 초기수화 생성물인 CSH에 결합됨으로써 C₃S 의 수화반응 속도를 저연시키나, C₃S-C₃A-석고계 수화에서는 monosulfate 생성반응이 속도결정단계가 됨으로써 C₃S 의 수화지연 현상이 나타나지 않는다.

ABSTRACT

The early hydration characteristics according to the C₃S/C₃A ratio and presence of gypsum, in order to establish the hydration mechanism of the system C₃S-C₃A, have been studied.

The rate of C₃S dissolution in the system C₃S-Gypsum was higher than that in the system C₃S. Consequently, the induction period was reduced and the rate of Ca(OH)₂ formation in the acceleration period was increased. The hydration of C₃S in the system C₃S-C₃A was retarded because Al³⁺ in the liquid phase originating from the hydration of C₃A was incorporated into calcium hydrosilicates formed.

The retardation phenomenon of C₃S hydration was not appeared in the system C₃S-C₃A-gypsum because the reaction of monosulfate formation became the rate-determining step.

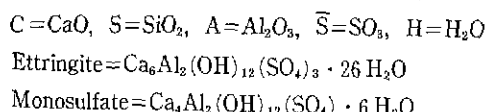
1. 서 론

포틀랜드시멘트 클링커의 주요 구성광물인 C₃S* 및 C₃A*의 수화반응에 관해서는 수많은 보고¹⁻¹⁰⁾가 있다. 그러

나 이들 대부분의 연구가 각 광물의 개별적 수화거동에 대한 것으로서 이들 두 광물이 공존하는 C₃S-C₃A-체의 수화에서 상호간에 미치는 영향^{[1]-[3]}에 대해서는 극히 한정되어 있으며, 특히 CaSO₄·2H₂O(이하 석고로 약기)가 첨가된 C₃S-C₃A-석고체의 수화에서 복합적으로 일어나는 수화반응 메커니즘에 대해서는 거의 보고된 바 없다. 그러나 실제적으로 시멘트가 수화할 때는 C₃S, C₃A 및 석고의 각 광물이 개별적으로 수화반응이 일어나는 동시에 이들 반응이 상호간의 수화작용에 크게 영향을 미칠 것으로 생각된다.

본 연구에서는 C₃S-C₃A 체의 수화 메커니즘을 규명하기 위한 연구의 일환으로 C₃S/C₃A 함량비 변화에 따른 초기 수화반응 특성을 석고 존재여부에 따라 검토하였다.

*Cement chemists' nomenclature is used :



2. 실험방법

2. 1. 시멘트클링커 광물의 합성

C₃S는 monoclinic 상의 C₃S 고용체를 얻기 위하여 Jeffery^[4]가 제시한 화학조성비(54CaO·16SiO₂·Al₂O₃·MgO)로, C₃A는 cubic 상^[5]을 얻기 위하여 CaO/Al₂O₃ 몰비가 3이 되도록 특급시약(Junsei Co.)을 사용하여 조합물을 만들었다. 이들 조합물을 1000°C에서 1시간 하소 시킨 후 200 kg/cm² 압력으로 가압成型하여 지름 3 cm의 pellet으로 만들어 백금 도가니에 넣어 전기로에서 C₃S는 1600°C, C₃A는 1360°C에서 6시간 소성한 다음 공기 중에서 끓는 물에 미분쇄한 후 다시 이 과정을 3회 반복 시행하였다. 합성된 광물들은 먼저 편광현미경으로 관찰하여 유리상(glass phase)이 존재하지 않음을 확인한 후, 화학분석 (Table 1)으로 잔존하는 유리석회 함량 및 X선

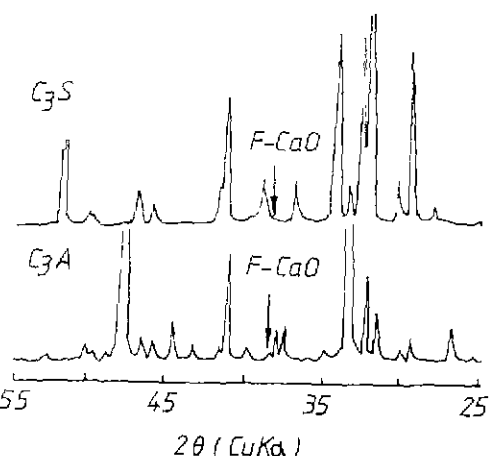


Fig. 1. Powder X-ray diffraction patterns of synthetic Cement clinker minerals.

회절분석 (Fig. 1)으로 각각의 광물 결정상이 합성되었음을 확인하였다. 클링커 광물은 분밀도가 Blaine 공기 투과 방법에 의한 비표면적이 3000 cm²/g이 되도록 분쇄하였다.

2. 2. 수화반응 실험

C₃S/C₃A 함량비 변화 및 석고 존재 여부에 따른 수화반응 특성을 규명하기 위하여 Table 2에 나타낸 배합표에 따라 시멘트 광물들을 조합하여 수화반응 실험을 행하였다. 20°C에서 W/S(Water/Solid) 비 0.5로 하여 미소전도열량계(Twin type conduction calorimeter)를 이용하여 수화반응시 나타나는 수화발열 속도를 측정하였다. 또한 특정시료의 수화반응 과정에서 일정 수화시간 경과 후 아세톤을 사용하여 수화를 정지시킨 후, SEM-EDS 분석장치, X선 회절분석장치 및 열분석장치를 이용하여 수화생성물을 분석하고 수화반응의 진행 과정을 규명하였다.

Table 2. Mixing Ratio of Cement Clinker Minerals for Samples.

Sample No.		Mixing ratio (wt.%)
Without gypsum	With 10% gypsum*	
AO	AG	100% C ₃ S
BO	BG	75%C ₃ S-25%C ₃ A
CO	CG	50%C ₃ S-50%C ₃ A

* : Gypsum % for the total weight of C₃S+C₃A.

Table 1. Chemical Compositions of Synthetic Cement Clinker Minerals. (unit : wt. %)

Samples	SiO ₂	Al ₂ O ₃	CaO	MgO	f-CaO
C ₃ S	23.3	2.9	73.3	1.1	0.2
C ₃ A	tr	38.3	62.1	tr	0.5

3. 결과 및 고찰

C_3S/C_3A 의 함량비 변화에 따른 수화 발열속도 측정결과를 석고가 존재하지 않는 경우는 Fig. 2에, 석고가 존재하는 경우는 Fig. 3에 도시 하였다. Fig. 2 및 Fig. 3에서 1차 발열 peak(이하 peak I으로 약기)의 변화는 C_3A 함량이 증가함에 따라 비례적으로 높게 나타났다.

이는 일반적으로 동일 수화온도에서 C_3A 용해열이

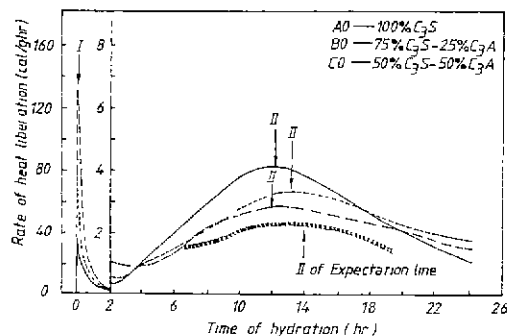


Fig. 2. The curves of heat liberation in the system C_3S-C_3A according to the hydration time.
 1) I and II : the apex of 1st and 2nd exothermic peak.
 2) XXX expectation line if C_3AH_6 reaction is not occurred.

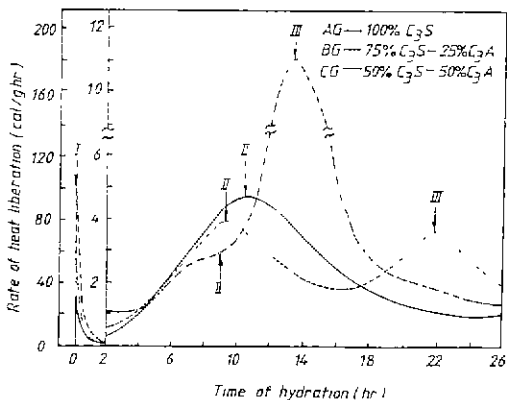


Fig. 3. The curves of heat liberation in the system C_3S-C_3A -Gypsum according to the hydration time.
 1) I, II and III : the apex of 1st, 2nd and 3rd exothermic peak.

C_3S 에 비하여 높으며, 또한 수화개시 직후 C_3A 의 수화반응에 의한 hexagonal calcium aluminate 수화물(석고가 존재하지 않을 때 ; $2C_3A + 21H \rightarrow C_2AH_8 + C_4AH_{13}$) 및 ettringite(석고가 존재할 때 ; $C_3A + 3CSH_2 + 26H \rightarrow C_3A \cdot 3CS \cdot H_{32}$) 생성 열이 C_3A 증가량에 비례하여 높아지기 때문이다.

그러나 2차 발열 peak(이하 peak II로 약기)는 C_3A/C_3S 함량비 변화 및 석고 존재 여부에 따라 다른데, 이는 수화개시 직후에는 각 광물들의 수화반응이 개별적으로 일어나다가 peak I 정점 도달시간 이후부터는 각 광물들의 수화반응이 상호간에 영향을 미치기 때문으로 생각된다. 따라서 본고에서는 peak II 변화를 중점적으로 고찰하였다.

3. 1. C_3S 계의 수화반응

석고 존재 여부에 관계없이 전반적인 수화 발열속도 곡선의 모양(AO 및 AG)은 C_3S 의 진형적인 수화 과정에 따라 나타나지만 $Ca(OH)_2$ 생성에 기인하는 peak II의 정점 도달시간 및 정점에서의 수화 발열 속도는 변화를 보여주고 있다.

즉 석고가 존재하지 않는 경우에는 정점 도달시간이 12시간 5분이며 수화 발열속도가 4.1 cal/g.hr인데 비하여, 석고가 존재하는 경우에는 10시간 15분, 4.5 cal/g.hr로 peak II 정점 도달시간이 빨라지며 정점에서의 발열속도도 빨라진다. 이는 C_3S 수화시 석고가 존재하면 존재하지 않는 경우에 비하여 C_3S 의 용해 속도가 증가함으로서 C_3S 수화반응 과정 단계에서 유도기(induction period)가 짧아지고 가속기(acceleration period)에서 $Ca(OH)_2$ 의 결정 속도가 증가하는 것을 의미한다. Table 3은 석고 존재 여부에 따른 C_3S 시료에 대하여 수화 실험을 한 결과로서 12시간 경과한 수화물의 X 선 회절분석으로부터 미반응 C_3S 의 peak 면적비($2\theta = 51.2^\circ - 52.5^\circ$)를 계산하여 C_3S 의 수화반응율을 구하였고, C_3S 의 수화반응

Table 3. Hydration Properties of C_3S with and without Gypsum after 12 Hours of Hydration.

Item Sample No.	Reaction degree of C_3S (%)	Production degree of $Ca(OH)_2$ (%)	Cumulative heat liberation(cal/g)
AO	37.2	5.8	32.6
AG	44.4	7.4	36.0

으로 생성된 $\text{Ca}(\text{OH})_2$ 의 함량은 열분석에 의한 수분 분해
량($450\sim 500^\circ\text{C}$)으로 계산하였다.

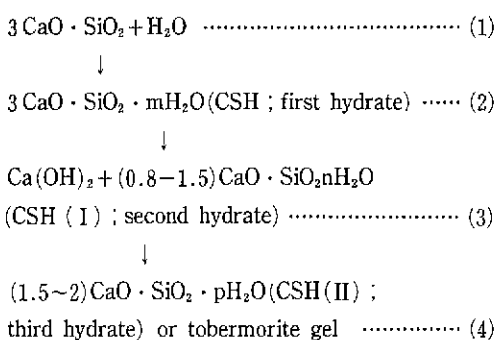
실험결과 석고 존재 시료가 존재하지 않는 시료에 비하여 C_3S 수화반응율 및 $Ca(OH)_2$ 생성율이 높으며 또한 수화 12시간까지의 총수화 발열량도 높게 나타나고 있는 것으로 보아 석고가 C_3S 초기 수화반응을 촉진시켜 줄을 확인할 수 있다.

한편 이러한 결과는 수화 시간에 따른 수용액상의 calcium 이온 농도변화를 측정함으로써 석고 존재시 Ca_3SiO_8 용해율이 증가된다는 Skalny⁹⁾의 실험결과와 일치하고 있다.

3. 2. 75% C₃S-25% C₃A 계의 수화반응

3.2.1. 설고가 존재하지 않는 경우

Fig. 2에서 석고가 존재하지 않는 경우의 수화 발열속도 곡선모양(BO)은 C_3S 단독 수화시 (AO)에 비하여 전반적으로 곡선 모양이 왼방하며, peak II의 정점 도달시간이 13 시간 10 분으로 늦어지고, 정점에서의 발열 속도도 3.3 cal/g.hr로 낮은 편이다. 이는 C_3S-C_3A 계 수화시 공존하는 C_3A 에 의하여 C_3S 수화반응이 지연되기 때문이라 생각된다. 즉 전형적인 C_3S 수화반응^[14]이 다음과 같이 진행된다고 할 때



C_3S 와 C_3A 의 수화반응에서 수용액상으로 용해된 Al^{3+} 이 C_3S 의 초기 수화물인 gel 형태의 calcium silicate hydrates(이하 CSH로 약기)에 결합되어 Al-containing CSH로 되며 이는 C_3A 가 존재하지 않을 때 생성되는 Al-free CSH에 비하여 안정된 결정구조를 가지게 되므로¹⁴⁾ (2)식에서 (3)식으로의 재결정하는 과정이 자연되는 것으로 생각된다.

Fig. 4는 수화 3시간 경과한 시료 BO에 대한 SEM-EDS 분석 결과로서 CSH로 판찰되는 수화물들에서 Al_2O_3 함량이 4.41% 및 4.78%로 높게 나타나고 있으며, 또한 수화 12시간 경과한 수화물에 대한 시차열 분석 결과

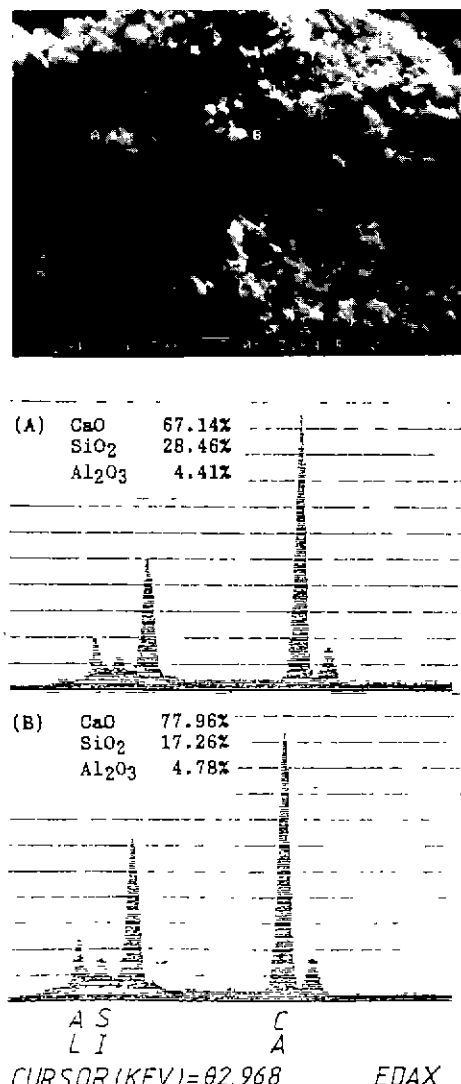


Fig.4. SEM micrograph and EDS analysis of the CSH produced in the system 75% C_3S -25% C_3A (after 3 hours of hydration).

(Fig.5)에서 (3)식의 CSH(I)으로 간주되는 100°C 부근의 흡열 peak가 시료 BO에 비하여 시료 AO에서 크게 나타나는 것으로 보아 C_6S-C_4A 계 수화시 C_3A 로 부터 용해된 Al^{3+} 이 C_4S 의 초기 생성물인 CSH에 결합됨으로서 C_4S 초기수화 속도를 저연시킨다는 것을 알 수 있다. 그러나 이와 같은 결정 전이측면 이외에도 C_3A 수화반응의 결과로 수용액상중의 $[Ca^{2+}]$ 및 $[OH^-]$ 등의 이온 농도 변화가 일어나 C_4S 의 수화반응에 영향을 미칠수 있으므로 하이

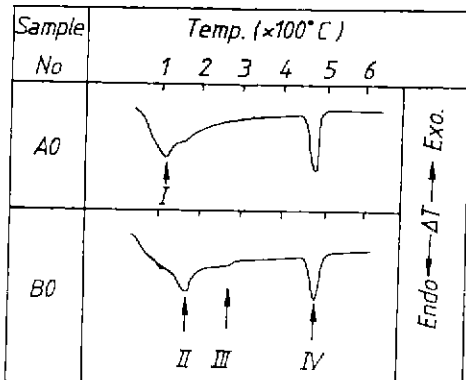


Fig. 5. Thermograms of hydrated products in the system C_3S-C_3A after 12 hours of hydration.
(I = CSH (I), II = C_2AH_8 , III = C_3AH_6 , IV = $Ca(OH)_2$)

더한 측면에서 좀 더 검토되어야 할 것으로 생각된다.

3.2.2. 석고가 존재하는 경우

Fig. 2와 Fig. 3에서 석고가 존재하는 경우의 수화 발열곡선의 모양(BG)은 존재하지 않는 경우(BO)에 비하여 peak II의 정점 도달시간이 9시간 10분으로 빠르며, 발열속도도 4.0 cal/g.hr으로 빨라진다. 또한 수화개시 직후 생성된 ettringite와 미수화 상태로 남아있는 C_3A 와의 수화로 생성된 monosulfate에 의한 3차 발열 peak(이하 peak III으로 약기)가 나타난다. 이와같은 peak II의 변화는 석고가 존재하지 않는 경우에는 앞에서 언급한 바와 같이 C_3A 로부터 용해된 Al^{3+} 이 CSH 에 결합되어서 C_3S 의 수화반응을 지연시키나, 석고가 존재하는 경우에는 수화개시 직후에 C_3A 와 석고의 반응으로 생성된 ettringite와 남아있는 C_3A 와의 monosulfat 생성반응이 속도결정 단계가 됨으로써 CSH 에 결합되는 Al^{3+} 이 감소되어 C_3S 수화반응 저연에 미치는 영향이 감소되기 때문에 생각된다. Fig. 6은 수화 3시간 경과한 시료 BG에 대한 SEM-EDS 분석 결과로서 CSH 로 관찰되는 수화물들에서 Al_2O_3 함량이 2.08% 및 2.95%로 동일 수화시간의 석고가 존재하지 않는 시료 BO에 대한 측정 결과(Fig. 4)와 비교하면 낮은 값을 나타내는 것으로 보아 C_3S-C_3A -석고계 수화시에는 C_3S 수화반응에 대한 Al^{3+} 의 영향이 감소되는 것을 알 수 있다.

3.3. 50% C_3S -50% C_3A 계의 수화반응

3.3.1. 석고가 존재하지 않는 경우

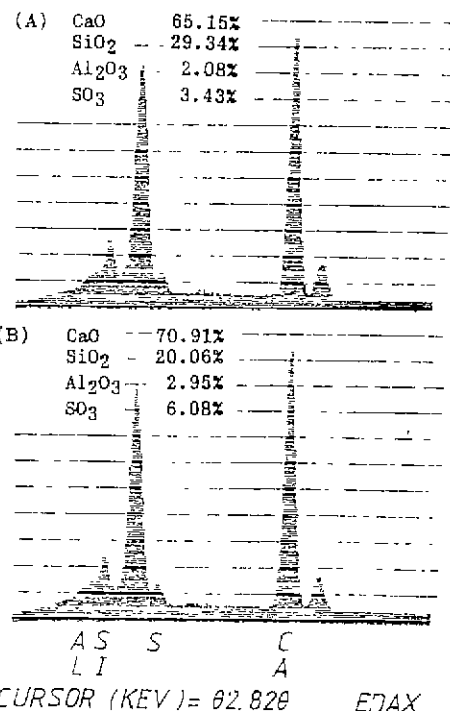
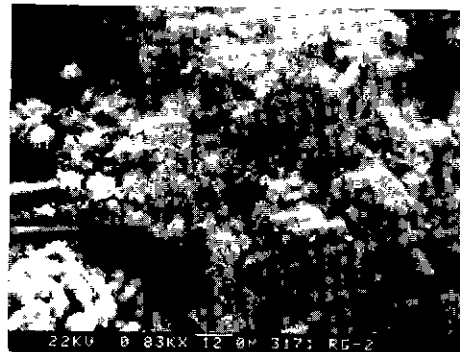


Fig. 6. SEM micrograph and EDS analysis of the CSH produced in the system 75% C_3S -25% C_3A -Gypsum (after 3 hours of hydration)

Fig. 2에서 석고가 존재하지 않는 경우의 수화 발열속도곡선(CO)의 모양은 25% C_3A 가 존재하는 시료 BO에 비하여 더욱 완만하게 나타나며, peak II 정점 도달시간은 12시간으로 약간 빨라지나 정점에서의 발열속도는 2.8 cal/g.hr로 더욱 낮아진다. 이와같이 C_3S-C_3A 계 수화에서 C_3S/C_3A 함량비 변화에 따른 peak II 정점의 이동, 즉 100% C_3S 수화를 기준으로 하여 볼때, 75% C_3S -25% C_3A 계에서는 peak II 정점 도달시간이 늦어지나 50% C_3S

-50% C₃A 체에서는 다시 빨라지는 이유는 Fig. 7의 수화시간에 따른 수화물의 시차열 분석 결과로부터 알 수 있다. C₃A가 25% 존재하는 시료 BO의 경우 450~500°C 부근에서 Ca(OH)₂의 흡열 peak 가 수화 6시간 시료에서 나타나며 280~310°C 부근에서 C₃AH₆의 peak는 수화 72시간 시료에서 나타나고 있으나, C₃A가 50% 존재하는 시료 CO의 경우에는 수화 12시간 시료에서 Ca(OH)₂ 및 C₃AH₆ peak 가 함께 나타나며, 또한 수화개시 직후부터 140~200°C 부근에서 C₂AH₈의 peak 크기가 시료 BO에 비하여 크게 나타나고 있다. 한편 수화시간에 따른 이러한 수화 생성물들의 존재는 X선 화질 분석을 통해 실시하여 확인하였다.

이들의 결과로 볼 때 75% C₃S-25% C₃A 체 수화반응에서

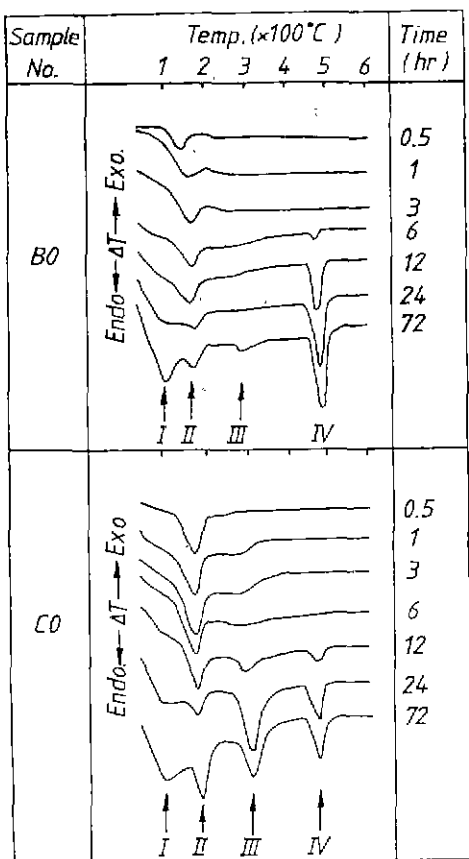


Fig. 7. Thermograms of hydrated products in the system C₃S-C₃A according to the hydration time. (I = CSH(I), II = C₂AH₈, III = C₃AH₆, IV = Ca(OH)₂)

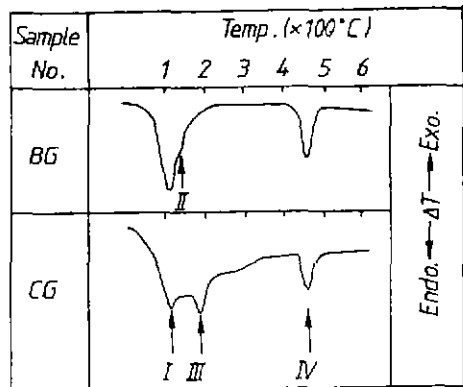


Fig. 8. Termograms of hydrated products in the system C₃S-C₃A-Gypsum after 12 hours of hydration. (I = CSH(I), II = ettringite, III = monosulfate, IV = Ca(OH)₂)

C₃A의 수화가 C₃S의 수화반응을 자연시키는 영향을 미치는 것과 유사한 메카니즘으로 50% C₃S-50% C₃A 체에서도 C₃A가 C₃S 수화반응을 자연시키나, 이 체에서는 C₃A의 최종수화물인 C₃AH₆ 생성반응이 속도결정 단계가 됨으로써 CSH에 결합되는 Al³⁺이 감소되며, 또한 C₃AH₆ 생성반응에 의한 수화열이 Ca(OH)₂ 생성열과 합쳐짐으로써 peak II 정점이 빨리 나타난다. 따라서 C₃AH₆ 생성반응이 속도결정 단계로 이루어지지 않았다면 C₃S 초기 수화물인 CSH에 결합되는 Al³⁺이 증가되어 Fig. 3에 나타낸 바와 같이 peak II 정점 도달시간이 75% C₃S-25% C₃A 체 경우보다 더욱 늦어질 것으로 생각된다.

3.3.2. 석고가 존재하는 경우

Fig. 3에서 석고 첨가시의 수화 발열속도 폭선 (CG)의 모양은 시료 CG의 C₃A 함량이 시료 BG에 비하여 상대적으로 많아서 monosulphate 생성으로 인한 peak III의 정점 도달시간 및 발열속도가 빨라진다. 즉, 시료 BG에서는 21시간 40분, 4.0 cal/g.hr인데 비하여 시료 CG에서는 13시간 15분, 10.9 cal/g.hr로 빠르게 나타난다. 따라서 peak III이 peak II에 겹침으로서 peak II의 형태를 알아내기 어려우나 이를 구분하면 peak II의 정점 도달시간은 수화 9시간 정도이고 발열속도는 3.0 cal/g. hr 정도로 추정된다. 이와 같은 peak II의 변화는 시료 BG의 수화 메커니즘과 유사한 것으로서 해석되며 단지 monosulfate 생성 반응이 시료 BG의 경우에 비하여 상대적으로 빨리 일어남 (Fig. 8)으로써 이 반응에 의한 수화열이 합쳐지기 때문으로 생각된다.

4. 결 론

C_3S/C_3A 합량비 변화 및 석고 존재 여부에 따른 C_3S-C_3A 계의 초기 수화반응 특성을 검토한 결과를 요약하면 다음과 같다.

1) C_3S -석고계 수화는 C_3S 단독 수화시에 비하여 C_3S 의 용해속도가 증가함으로써 C_3S 수화반응 단계에서 유도기가 짧아지고 가속기에서 $Ca(OH)_2$ 생성속도가 증가한다.

2) C_3S-C_3A 계 수화에서는 C_3A 의 수화반응에 의한 수용액상 중의 Al^{3+} 이 C_3S 의 초기수화 생성물인 CSH에 결합됨으로써 C_3S 의 수화반응 속도를 저연시킨다. 그러나 C_3A 함량이 많아져 C_3A 의 최종 수화물인 C_3AH_6 의 생성 반응이 속도결정 단계가 될 경우에는 CSH에 결합되는 Al^{3+} 이 감소되어 C_3S 의 수화반응을 저연시키는 영향이 감소된다.

3) C_3S-C_3A -석고계 수화에서는 수화 개시 직후에 생성된 ettringite와 미수화 상태로 남아있는 C_3A 와의 수화에 의한 monosulfate 생성 반응이 속도결정 단계가 됨으로써, C_3S 수화반응에 대한 Al^{3+} 의 영향이 감소됨으로 C_3A 함량이 많아지면 C_3S 의 수화지연 현상이 나타나지 않는다.

REFERENCES

1. F.E.Jones, "The Quaternary System $CaO-Al_2O_3-CaSO_4-H_2O$ at 25°C, Equilibrium with Crystalline $Al_2O_3 \cdot 3 H_2O$, Alumina and Solid Solution", *J. Phys. Chem.*, 48, 311-319 (1944).
2. R.Turziani, A. Rio, M.Colleopardi, "Some Observations on the Hydration Mechanism of Tricalcium Silicate", *Ind. Ital. Cemento*, 35, 635-644 (1965).
3. K.Fujii, W.Kondo, "Kinetics of the Hydration of Tricalcium Silicate", *J. Amer. Cer. Soc.*, 57 (11), 492-497 (1974).
4. A.Traetteberg, P.E.G. Bellew, "Hydration of 3 $CaO \cdot Al_2O_3$ and 3 $CaO \cdot Al_2O_3 + Gypsum$ with and without $CaCl_2$ ", *J. Amer. Cer. Soc.*, 58 (5~6), 221-227 (1975).
5. P.K.Mehta, "Scanning Electron Micrographic Studies of Ettringite Formation", *Cem. Conc. Res.*, 6 (2), 169-182 (1976).
6. A.Bentur, "Effect of Gypsum on the Hydration and Strength of C_3S Pastes", *J. Amer. Cer. Soc.*, 59 (5~6), 210-213 (1976).
7. M.Colleopardi, G.Baldini, M.Pauri, "Tricalcium Aluminate Hydration in the Presence of Lime, Gypsum or Sodium Sulfate", *Cem. Conc. Res.*, 8 (5) 570-580 (1978).
8. M.Colleopardi, G.Baldini, M.Pauri, "Retardation of Tricalcium Aluminate Hydration by Calcium Sulfate", *J. Amer. Cer. Soc.*, 62 (1~2), 33-36 (1979).
9. D.Menetrier, I.Jawed, J.Skalny, "Effect of Gypsum on C_3S Hydration", *Cem. Conc. Res.*, 10 (5), 697-701 (1980).
10. I.Odler, "Interaction between Gypsum and the C-S-H Phase Formed in C_3S Hydration", 7th Int. Symp. Chem., Paris, IV, 493-495 (1980).
11. H.N.Stein, "Influence of some Additives on the Hydration Reactions of Portland Cement.I. Nonionic Organic Additives", *J. Appl. Chem.*, 11 474-482 (1961).
12. A.Celani, P.A.Moggi, A.Rio, "The Effect of Tricalcium Aluminate on the Hydration of Tricalcium Silicate and Portland Cement", 5th Int. Symp. Chem. Cem., Tokyo, II, 492-503 (1968).
13. N.Tenoutasse, "The Hydration Mechanism of C_3A and C_3S in the Presence of Calcium Chloride and Calcium Sulphate", 5th Int. Symp. Chem. Cem., Tokyo, II, 372-378 (1968).
14. J.G.M. De Jong, H.N. Stein, J.M. Stevels, "Mutual Interaction of C_3A and C_3S during Hydration", 5th Int. Symp. Chem. Cem., Tokyo, II, 311-320 (1968).
15. B.F.Cottin, "Some Interactions between C_3A and C_3S during Cement Portland Hydration", 7th Int. Symp. Chem. Cem., Paris, IV, 504-508 (1980).
16. J.W. Jeffery, "Tricalcium Silicate Phase", 3rd Int. Symp. Chem. Cem., London, I, 30-55 (1954).
17. H.F.W. Taylor, "The Chemistry of Cements", Academic Press, Vol.2, 349-409 (1964).